BAB IV

HASIL DAN PEMBAHASAN

4.1 Hasil

Hasil yang diperoleh dari *software* elemen hingga berupa nilai Tegangan normal maksimum (*Maximum principal stress*) dan defleksi yang terjadi pada ketiga jenis *crane hook* (kait). Perbandingan nilai *yield strength* dari material yang digunakan yaitu AISI 4140 *steel alloy* dengan tegangan normal maksimum (*maximum principal stress*) yang terjadi pada struktur *crane hook* (kait) akan diperoleh nilai *safety factor*.

Hasil simulasi menggunakan *software* elemen hingga akan di bandingkan dengan nilai perhitungan analitik yang akan digambarkan dengan menggunakan grafik perbandingan.

4.1.1 Hasil Simulasi Software Elemen Hingga

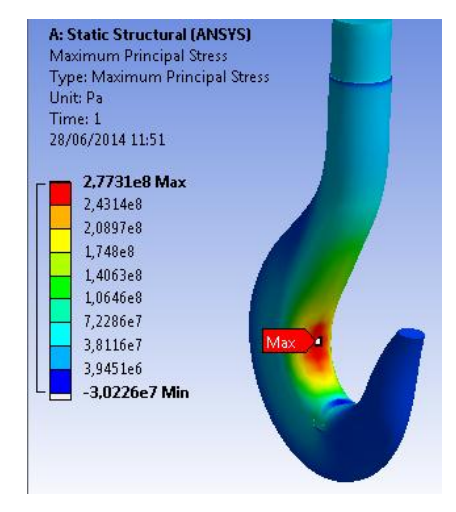
Tegangan normal maksimum (maximum principal stress) merupakan tegangan kerja maksimum yang terjadi akibat pembebanan pada crane hook (kait). Tegangan ini menentukan batas kritis maksimum yang diperbolehkan pada suatu tegangan yang timbul/ tegangan kerja. Jika nilai tegangan normal maksimum (maximum principal stress) melebihi nilai yield strength maka struktur akan mengalami deformasi plastis, sedangkan jika nilai tegangan normal maksimum (maximum principal stress) melebihi nilai ultimate strength maka struktur akan mengalami patah statik.

4.1.1.1 Tegangan Maksimum (Maximum Principal Stress)

1. Kait tunggal

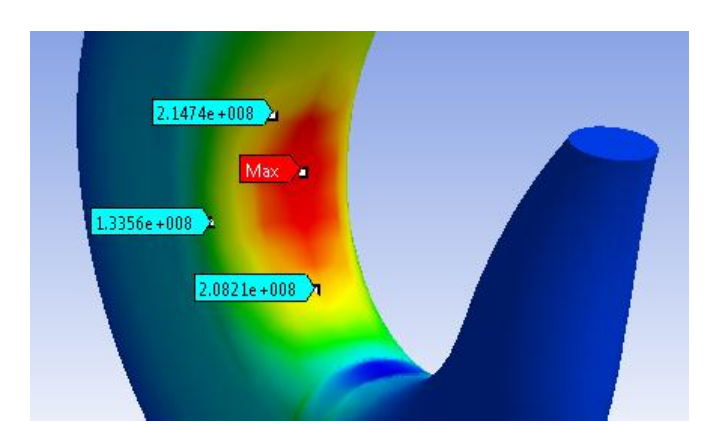
Hasil yang diperoleh dari perangkat lunak elemen hingga untuk mengetahui nilai tegangan normal maksimum (*maximum principal stress*) pada jenis kait tunggal dapat dilihat pada gambar 4.1





Gambar 4.1 Hasil tegangan normal maksimum (maximum principal stress) kait tunggal

Pada hasil simulasi dengan menggunakan *software* elemen hingga pada struktur kait tunggal didapat nilai tegangan normal maksimum (*maximum principal stress*) yaitu sebesar 2,7731x10⁸ Pa yang berada di daerah lengkungan kait. Pada daerah tersebut merupakan titik-titik kritis pada kait tunggal. Daerah kritis dapat dilihat pada gambar 4.2.



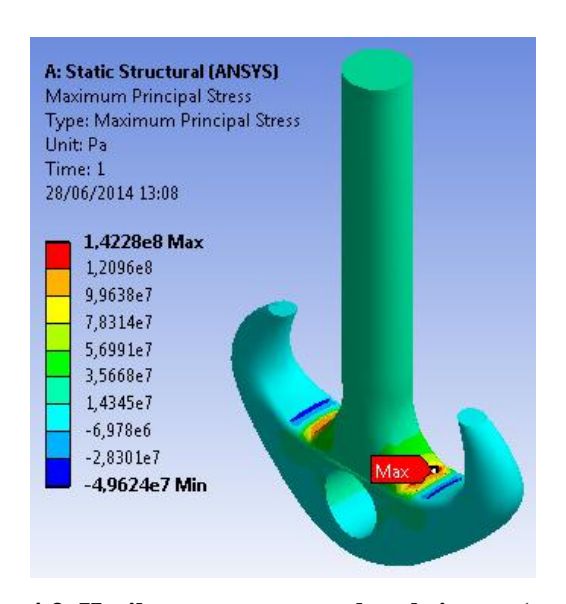
Gambar 4.2 Daerah kritis pada kait tunggal

Dari gambar 4.2 terdapat nilai-nilai kritis yang mendekati tegangan maksimum yang bernilai 2,147x10⁸ Pa, 2,082x10⁸ Pa dan 1,335x10⁸ Pa. Daerah kritis tersebut merupakan daerah kemungkinan terbesar terjadinya kegagalan pada kait tunggal. Namun dilihat dari nilai kekuatan luluh (*yield strength*) material kait yaitu AISI 4140 *alloy steel* sebesar 4,15x10⁸ Pa,

maka struktur kait tunggal masih dianggap aman dikarenakan nilai tegangan kerja maksimum (*maximum principal stress*) pada kait hanya sebesar 2,7731x10⁸ Pa dan nilai tersebut masih lebih kecil dari nilai kekuatan luluhnya.

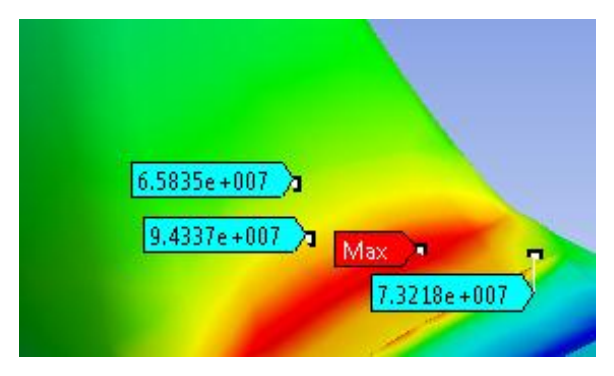
2. Kait Tanduk Ganda

Hasil yang di dapat dari perangkat lunak elemen hingga untuk mengetahui nilai tegangan normal maksimum (*maximum principal stress*) pada kait tanduk ganda dapat dilihat pada gambar 4.3,



Gambar 4.3 Hasil tegangan normal maksimum (maximum principal stress) kait tanduk ganda

Pada hasil simulasi dengan menggunakan *software* elemen hingga pada struktur kait tanduk ganda diperoleh nilai tegangan normal maksimum (*maximum principal stress*) yaitu sebesar 1,4228x10⁸ Pa yang berada di daerah lengkungan pada kait. Pada daerah tersebut merupakan titik-titik kritis pada kait tanduk ganda yang dapat dilihat pada gambar 4.4.

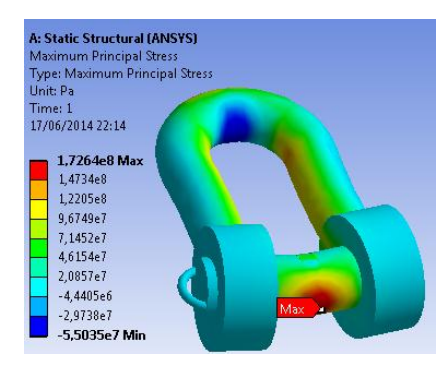


Gambar 4.4 Daerah kritis kait tanduk ganda

Dari gambar 4.4 terdapat nilai-nilai kritis yang mendekati tegangan maksimum yang bernilai 9,4337x10⁷ Pa, 7,321x10⁷ Pa dan 6,5835x10⁷ Pa. Daerah kritis tersebut merupakan daerah kemungkinan terbesar terjadinya kegagalan yang letaknya berada pada lengkungan kait tanduk ganda. Dilihat dari nilai kekuatan luluh (*yield strength*) dari material yang digunakan pada kait tanduk ganda yaitu AISI 4140 *alloy steel* sebesar 4,15x10⁸ Pa, maka struktur kait tanduk ganda masih dianggap aman. Nilai tegangan kerja maksimum (*maximum principal stress*) hanya sebesar 1,422x10⁸ Pa dan nilai tersebut masih lebih kecil dari nilai kekuatan luluhnya.

3. Shackle

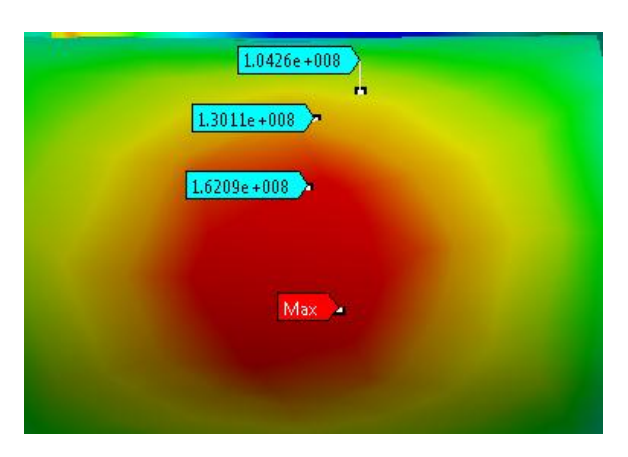
Hasil yang di peroleh dari perangkat lunak elemen hingga untuk mengetahui nilai tegangan normal maksimum (*maximum principal stress*) pada jenis *shackle* yang dapat dilihat pada gambar 4.5



Gambar 4.5 Hasil tegangan normal maksimum (maximum principal stress) shackle



Pada hasil simulasi dengan menggunakan *software* elemen hingga pada struktur *shackle* di dapat nilai tegangan normal maksimum (*maximum principal stress*) yaitu sebesar 1,726x10⁸ Pa yang berada di daerah bawah *crane hook* (kait). Pada daerah tersebut merupakan titik-titik kritis pada *shackle*. Daerah kritis dapat dilihat pada gambar 4.6.



Gambar 4.6 Titik kritis shackle

Dari gambar 4.6 terdapat nilai-nilai kritis yang mendekati tegangan maksimum yang bernilai 1,620x10⁸ Pa, 1,301x10⁸ Pa dan 1,042x10⁸ Pa. Daerah kritis tersebut merupakan daerah kemungkinan terbesar terjadinya kegagalan yang berada di bagian bawah *shackle*. Namun dilihat dari nilai kekuatan luluh (*yield strength*), material yang digunakan pada *shackle* yaitu AISI 4140 *alloy steel* sebesar 4,15x10⁸ Pa, maka struktur *shackle* masih dianggap aman. Nilai tegangan kerja maksimum (*maximum principal stress*) hanya sebesar 1,726x10⁸ Pa dan nilai tersebut masih lebih kecil dari nilai kekuatan luluhnya.

4.1.1.2 Safety Factor

Untuk menghitung nilai kekuatan pada struktur *crane hook* (kait) berdasarkan simulasi *software* elemen hingga yaitu dengan menggunakan persamaan *safety factor*.

$$Fs = \frac{Yield\ strength}{\sigma_{max}}$$

 $\sigma_{max} = Maximum \ principal \ stress$



1. Safety factor untuk kait tunggal

$$Fs = \frac{4,15 \times 10^8 \, Pa}{2,7731 \times 10^8 \, Pa}$$

$$Fs = 1,496$$

2. Safety factor untuk kait tanduk ganda

$$Fs = \frac{4,15 \times 10^8 \, Pa}{1,4228 \times 10^8 \, Pa}$$

$$Fs = 2,916$$

3. Safety factor untuk shackle

$$Fs = \frac{4,15 \times 10^8 \, Pa}{1,7264 \times 10^8 \, Pa}$$

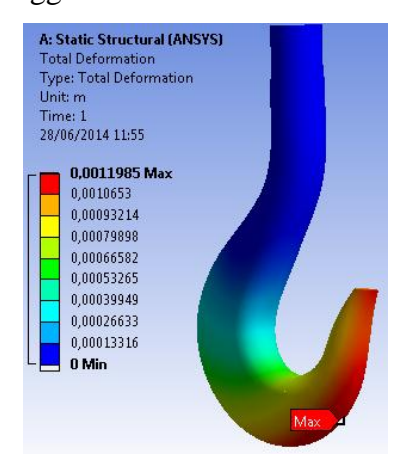
$$Fs = 2,403$$

Dilihat dari hasil *safety factor* ketiga jenis *crane hook* (kait) yaitu kait tunggal, kait tanduk ganda dan *shackle* diperoleh data bahwa kait tunggal memiliki nilai *safety factor* terkecil dan kait tanduk ganda memiliki nilai *safety factor* terbesar. Dari data ini dimaksudkan bahwa kerja kait tanduk ganda lebih aman daripada kerja *shackle* dan kait tunggal pada pembebanan 20 Ton atau 196200 N, sehingga kait tunggal memiliki peluang lebih besar terjadinya kegagalan kerja.

4.1.1.3 Defleksi yang Terjadi pada Kerja Crane Hook (kait)

Defleksi merupakan suatu lendutan atau perubahan struktur akibat adanya pembebanan yang diberikan pada struktur *crane hook* (kait).

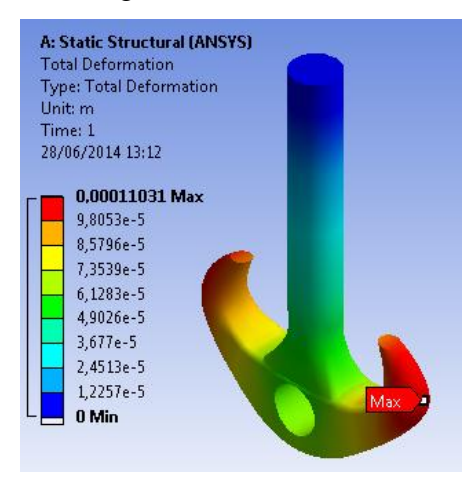
1. Defleksi pada kait tunggal



Gambar 4.7 Hasil defleksi yang terjadi pada struktur kait tunggal

Dilihat pada gambar 4.7 diperoleh nilai defleksi maksimum sebesar 1,1985 mm yang berada dibagian bawah kait tunggal. Bagian ini akan mengalami defleksi paling besar akibat adanya pembebanan yang diberikan.

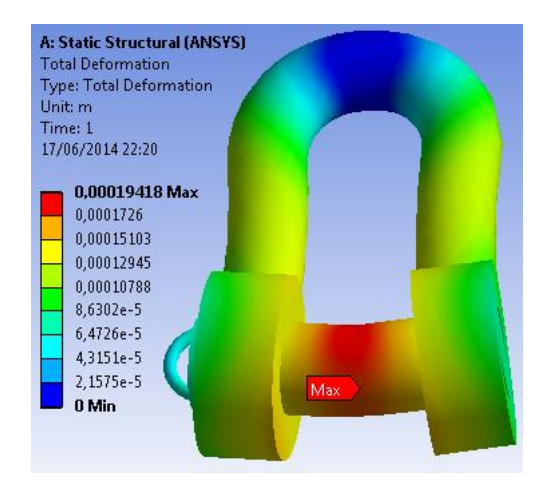
2. Defleksi pada kait tanduk ganda



Gambar 4.8 Hasil defleksi yang terjadi pada struktur Kait Tanduk ganda

Dilihat pada gambar 4.8 diperoleh nilai defleksi maksimum sebesar 0,11031 mm yang berada dibagian ujung kait tanduk ganda. Bagian ini akan mengalami defleksi paling besar akibat adanya pembebanan yang diberikan.

3. Defleksi pada shackle



Gambar 4.9 Hasil defleksi yang terjadi pada struktur Shackle

Dilihat pada gambar 4.9 diperoleh nilai defleksi maksimum sebesar 0,19418 mm yang berada dibagian bawah kait, pada bagian ini akan mengalami defleksi paling besar akibat adanya pembebanan yang diberikan.

4.1.1.4 Perbandingan Nilai Regangan

Pada hasil defleksi juga dapat dibandingkan dengan nilai regangan dari material yang digunakan pada *crane hook* (kait). Nilai regangan diperoleh dari persamaan hukum Hooke, yaitu :

$$\sigma = \epsilon \cdot E$$

Berdasarkan nilai *yield strength* AISI 4140 *steel alloy* yaitu 415 MPa dan Modulus elastisitas 210 GPa maka nilai regangan dalam persen yaitu:

$$\varepsilon = \frac{415 \, MPa}{210000 \, MPa} \times 100 \, \%$$

$$\varepsilon = 0.001976 \times 100 \%$$

$$\varepsilon = 0.1976 \%$$

Jadi nilai regangan dari material AISI 4140 *steel alloy* yaitu sebesar 0,1976%, sedangkan regangan pada *crane hook* (kait) yaitu berdasarkan persamaan regangan berikut :

$$\varepsilon = \frac{\delta}{h}$$

Nilai regangan dalam persen pada tiga jenis kait yaitu sebagai berikut :

1. Kait Tunggal

h = 630 mm

 $\delta = 1{,}1985 \text{ mm}$



Maka,

$$\varepsilon = \frac{\delta}{h} \times 100 \%$$

$$\varepsilon = \frac{1,1985 \text{ mm}}{630 \text{ mm}} \times 100 \%$$

$$\varepsilon = 0,190 \%$$

2. Kait Tanduk Ganda

$$h = 405 \text{ mm}$$

$$\delta = 0.11031 \text{ mm}$$

Maka,

$$\varepsilon = \frac{\delta}{h} \times 100 \%$$

$$\varepsilon = \frac{0,11031 \text{ mm}}{405 \text{ mm}} \times 100 \%$$

$$\varepsilon = 0,0272 \%$$

3. Shackle

$$h = 349 \text{ mm}$$

$$\delta = 0.19418 \text{ mm}$$

Maka,

$$\varepsilon = \frac{\delta}{h} \times 100 \%$$

$$\varepsilon = \frac{0.19418 \text{ mm}}{349 \text{ mm}} \times 100 \%$$

$$\varepsilon = 0.0556 \%$$

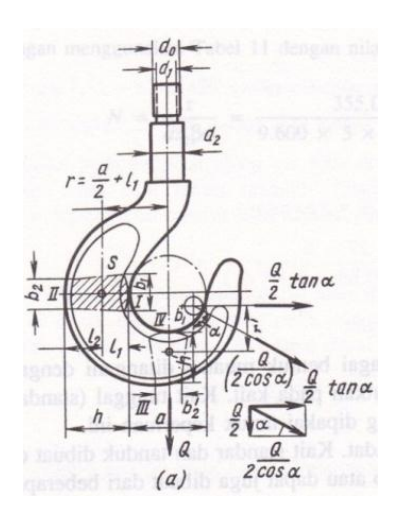
Dari persamaan regangan di peroleh data regangan paling besar hingga paling kecil dari ke tiga jenis kait berturut-turut adalah kait tunggal sebesar 0,190%, *shackle* sebesar 0,0556% dan kait tanduk ganda sebesar 0,0272%.

4.1.2 Hasil Perhitungan Analitik

Untuk membandingkan nilai tegangan maksimum (*maximum prinsipal stress*) perlu dilakukannya perhitungan analitik dengan melakukan pendekatan-pendekatan agar diperoleh nilai yang mendekati sebenarnya dan dengan asumsi berat struktur *crane hook* (kait) diabaikan. Kemudian dilakukan perhitungan safety factor untuk mengetahui tingkat keamanan dari ketiga jenis *crane hook* (kait) yang digunakan.

4.1.2.1 Tegangan Maksimum

1. Kait Tunggal



Gambar 4.10 dimensi kait tunggal^[1]

Diketahui:

$$H = 0.135 \text{ m}$$

$$b1 = 0.095 \text{ m}$$

$$A = 0.135 \text{ m}$$

$$b2 = 0.039 \text{ m}$$

$$F = 6.348 \times 10^{-3} \text{ m}^2$$

Ditanya : σ ??

Penyelesaian:

•
$$n = \frac{b1}{b2} = \frac{0,095}{0,039} = 2,43589$$

•
$$X = \frac{5n+7}{3(n+1)^2} [(1,5n-0,5) \ 1,09861 - (n-1)] - 1$$

$$X = \frac{5(2,43589) + 7}{3(2,43589 + 1)^2} [(1,5x2,43589 - 0,5) 1,09861 - (2,43589 - 1)] - 1$$

X = 0.098774



•
$$e1 = \frac{n+2}{n+1} \frac{h}{3}$$

 $e1 = \frac{2,43589+2}{2,43589+1} \frac{0,135}{3}$
 $e1 = 0,05808 \text{ m}$

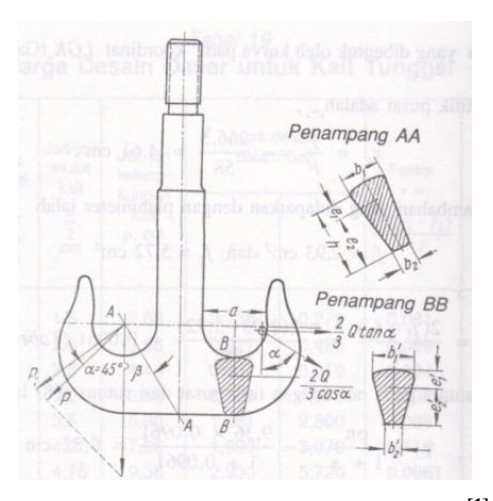
maka

•
$$\sigma = \frac{Q}{F} \frac{1}{x} \frac{2.e1}{a}$$

$$\sigma = \frac{196200}{6,348.10^{-3}} \frac{1}{0,098774} \frac{2.0,05809}{0,135}$$

$$\sigma = 2,6928.10^{8} Pa$$

2. Kait Tanduk Ganda



Gambar 4.11 Dimensi kait tanduk ganda^[1]

Diketahui:

$$X = 0,098774$$
 $\alpha = 45^{0}$ $\beta = 26^{0}$ $\alpha = 45^{0}$ $\alpha = 45^{0}$ $\alpha = 45^{0}$ $\alpha = 6,83 \times 10^{-3} \text{ m}^{2}$ $\alpha = 26^{0}$ $\alpha = 196200/2 = 98100 \text{ N}$ $\alpha = 196200/2 = 98100 \text{ N}$

Penyelesaian:

Ditanya : σ

•
$$P_I = \frac{2Q \sin (\alpha + \beta)}{3 \cos \alpha}$$

 $P_I = \frac{2.98100 \sin (45 + 26)}{3 \cos 45}$
 $P_I = 87450,603 N$



Maka:

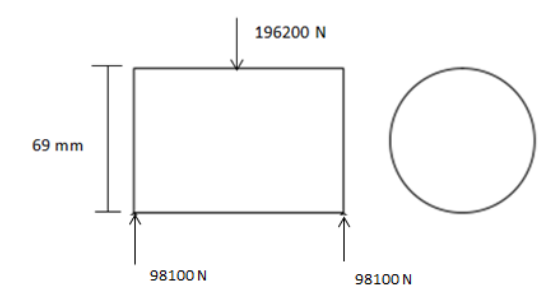
•
$$\sigma = \frac{P1}{F} \frac{1}{x} \frac{2.e1}{a}$$

$$\sigma = \frac{87450,603}{6,83. 10^{-3}} \frac{1}{0,098774} \frac{2.0,0475}{0,09}$$

$$\sigma = 1,3683. 10^{8} Pa$$

3 Shackle

Diagram benda bebas



Gambar 4.12 Diagram benda bebas

Ditanya : σ

$$\sigma = \frac{M.Y}{I}$$

Potongan I ; $0 \le x \le 0.05$ m



Gambar 4.13 Potongan arah x

• Σ Ma = 0

M = 98100 X

Maka Mmax = 98100.0,05 m = 4905 N.m

•
$$Y = 3,45 \times 10^{-2} \text{ m}$$

• I =
$$\frac{\pi \cdot r^4}{4}$$

I = $\frac{\pi \times 0,0345^4 \, m}{4}$
I = 1,1126 $\times 10^{-6} \, m^4$

Jadi,
$$\sigma$$
 max = $\frac{M.Y}{I}$
= $\frac{4905 \text{ Nm } x \text{ 0,0345 m}}{1,1126 \text{x} 10^{-6} m^4}$
= $1,52 \text{x} 10^8 \text{ Pa}$

4.1.2.2 Safety Factor

Untuk menghitung nilai kekuatan pada struktur *crane hook (kait)* yaitu dengan menggunakan persamaan *safety factor*.

$$Fs = \frac{Yield\ strength}{\sigma_{max}}$$

 $\sigma_{max} = Maximum \ principal \ stress$

Nilai safety factor pada semua jenis kait adalah:

1. Safety factor untuk kait tunggal

$$Fs = \frac{4,15 \times 10^8 \, Pa}{2,6928 \times 10^8 \, Pa}$$

$$Fs = 1,541$$

2. Safety factor untuk kait tanduk ganda

$$Fs = \frac{4,15 \times 10^8 \, Pa}{1,3683 \times 10^8 \, Pa}$$

$$Fs = 3,032$$

3. Safety factor untuk shackle

$$Fs = \frac{4,15 \times 10^8 \, Pa}{1,52 \times 10^8 \, Pa}$$

$$Fs = 2,73$$

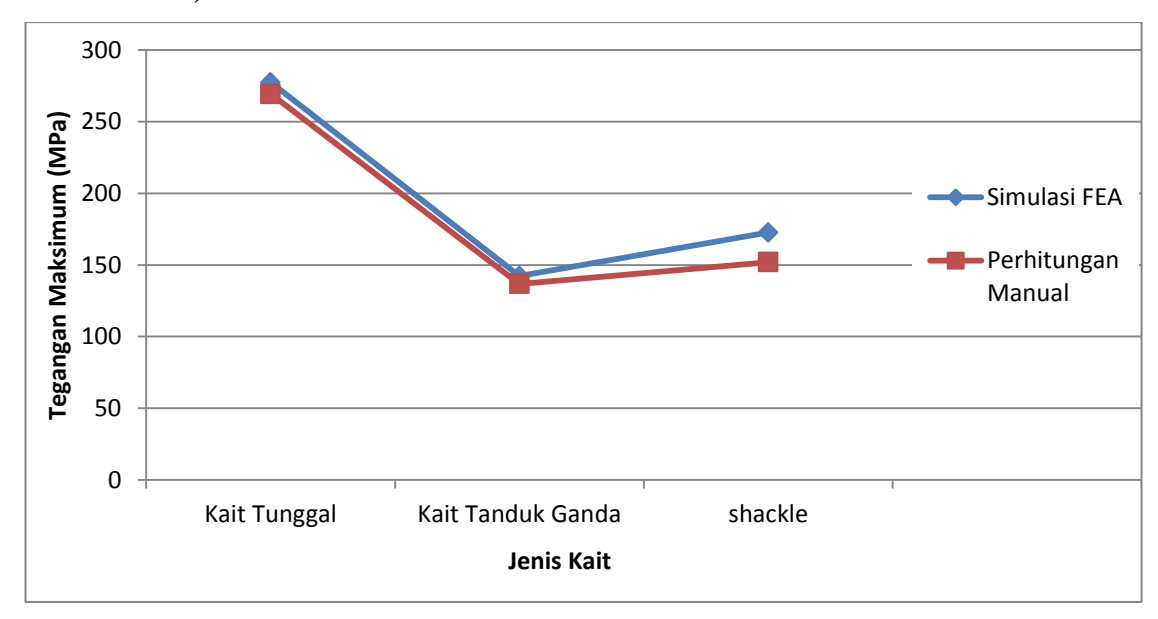


Dilihat dari hasil *safety factor* ketiga jenis *crane hook* (kait) yaitu kait tunggal, kait tanduk ganda dan *shackle* diperoleh data bahwa kait tunggal memiliki nilai *safety factor* terkecil yaitu 1,81 dan kait tanduk ganda memiliki nilai *safety factor* terbesar yaitu senilai 3,032. Dari data ini dimaksudkan bahwa kerja kait tanduk ganda lebih aman daripada *shackle* dan kait tunggal untuk pembebanan 20 Ton atau 196200 N, sehingga kait tunggal memiliki peluang lebih besar terjadinya kegagalan kerja.

4.2 Kurva Perbandingan

Dari simulasi yang dilakukan dengan menggunakan *software* elemen hingga akan dibandingkan dengan perhitungan analitik untuk ketiga jenis *crane hook* (kait) yang digunakan.

4.2.1 Perbandingan Nilai Tegangan Normal Maksimum (*Maximum Principal Stress*)



Gambar 4.14 Grafik perbandingan nilai tegangan normal maksimum (maximum principal stress)

Dapat dilihat pada gambar 4.14 diperoleh bentuk kurva yang serupa antara simulasi *software* elemen hingga dengan perhitungan analitik nilai tegangan maksimum (*maximum principal stress*). Dari grafik diatas diketahui bahwa nilai tegangan maksimum terbesar untuk ketiga jenis kait yang dianalisa adalah jenis



kait tunggal, di mana nilai tegangan maksimum pada kait tunggal untuk simulasi *software* elemen hingga sebesar 277,31 MPa dan perhitungan analitik diperoleh nilai sebesar 269,28 MPa. Untuk nilai tegangan maksimum terkecil dari ketiga jenis *crane hook* adalah jenis tanduk ganda, dengan nilai tegangannya sebesar 142,28 MPa dari simulasi *software* elemen hingga dan 136,83 MPa dari untuk perhitungan analitik.

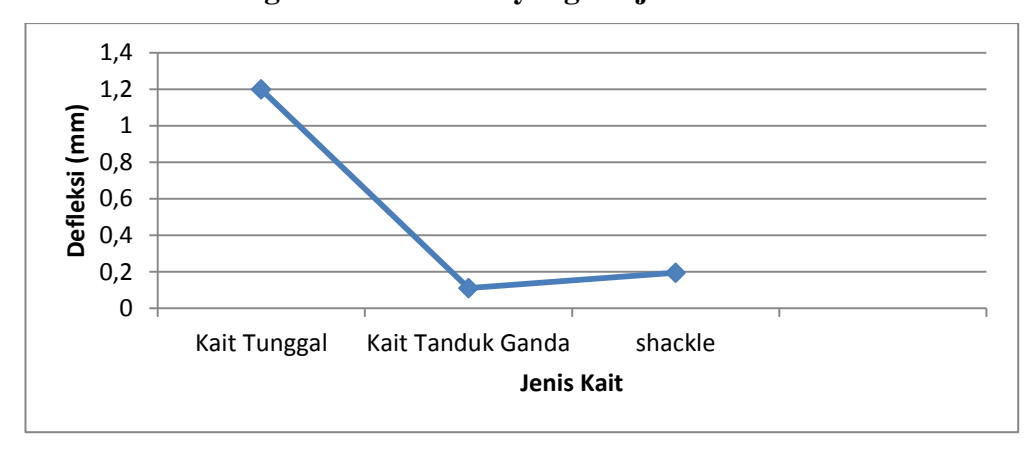
3,5 3 2,5 Simulasi software FEA Perhitungan Manual Kait Tunggal Kait Tanduk Ganda shackle Jenis Kait

4.2.3 Perbandingan Nilai Safety Factor

Gambar 4.15 Grafik perbandingan nilai safety factor

Dari gambar 4,15 dapat dilihat nilai *safety factor* antara simulasi *software* elemen hingga dengan perhitungan analitik membentuk kurva yang serupa. Nilai *safety factor* terbesar hingga terkecil berturut-turut adalah kait tanduk ganda, *shackle* dan kait tunggal. Nilai *safety factor* pada kait tanduk ganda dengan menggunakan simulasi *software* elemen hingga diperoleh nilai 2,916 dan dengan perhitugan analitik diperoleh nilai 3,032. Nilai *safety factor* pada kait tunggal antara simulasi *software* elemen hingga dan perhitungan analitik berturut-turut adalah 1,496 dan 1,541.

4.2.4 Perbandingan Nilai Defleksi yang Terjadi



Gambar 4.16 Grafik perbandingan nilai defleksi yang terjadi

Dari gambar 4.16 diperoleh perbandingan nilai defleksi antara ketiga jenis kait yang digunakan dengan menggunakan simulasi *software* elemen hingga. Dari grafik tersebut diketahui nilai defleksi terbesar hingga terkecil berturut-turut adalah kait tunggal dengan nilai defleksi 1,1985 mm, *shackle* dengan nilai defleksi 0,19418 dan kait tanduk ganda dengan nilai 0,11031 mm.

4.3 Pembahasan

Pada analisa kekuatan struktur *crane hook* (kait) yaitu dengan menghitung tegangan kerja/tegangan normal maksimum (*maximum principal stress*) terlebih dahulu, lalu membandingkannya dengan nilai kekuatan luluh material yang digunakan (*yield strength*).

Berdasarkan gambar 4.14 diperoleh perbandingan antara nilai tegangan normal maksimum dengan menggunakan 2 metode yaitu simulasi *software* elemen hingga dan perhitungan analitik. Pada grafik tersebut dapat dilihat bahwa memiliki bentuk yang serupa dengan nilai tegangan terbesar pada kait tunggal dan nilai tegangan yang terkecil pada kait tanduk ganda. Perbandingan antara simulasi *software* elemen hingga dan perhitungan analitik dapat dilihat pada tabel 4.5



Tabel 4. Perbandingan Nilai Tegangan

No	Jenis Kait	Simulasi FEA (MPa)	Perhitungan Analitik (MPa)	Error (%)		
1	Kait Tunggal	277,31	269,28	2,98		
2	Kait Tanduk Ganda	142,28	136,83	3,98		
3	Shackle	172,64	152,00	13.57		

Dapat dilihat pada tabel 4 perbandingan nilai tegangan simulasi software elemen hingga dan perhitungan analitik diperoleh nilai error (error = $\left[\frac{(nilai\ simulasi\ FEA-nilai\ perhitungan\ analitik)}{nilai\ perhitungan\ analitik}\right]x100\%$) berkisar antara 2,98 - 13,57% , dikarenakan perhitungan analitik dilakukan dengan melakukan pendekatan-pendekatan dan ada beberapa faktor yang diabaikan.

Dari hasil tegangan akan diperoleh nilai *safety factor* yang nilainya akan berbanding terbalik dengan nilai tegangan maksimumnya. Nilai *safety factor* dapat diperoleh dari perbandingan antara *yield strength* dari material AISI 4140 *alloy steel* (*yield strength* = 415 MPa) dengan nilai tegangan normal maksimum (*maximum principal stress*). Dari nilai *safety factor* dapat dianalisa bahwa kait yang paling aman digunakan berturutturut dari ketiga jenis kait adalah kait jenis tanduk ganda, *shackle* dan kait tunggal. Dapat kita simpulkan bahwa kait tunggal akan memiliki potensi kegagalan paling besar diantara kait jenis lainnya.

Nilai defleksi berbanding lurus dengan besarnya nilai tegangan maksimum (*maximum principal stress*) pada ketiga jenis *crane hook* (kait). Nilai defleksi terbesar pada kait jenis tunggal yaitu sebesar 1,1985 mm kemudian *shackle* terjadi defleksi sebesar 0,19418 mm dan yang terakhir adalah kait tanduk ganda yang mengalami defleksi sebesar 0,11031 mm.

Dari data-data yang diperoleh dapat diketahui bahwa semakin besar tegangan normal maksimum (*maximum principal stress*) yang timbul akibat adanya pembebanan maka akan semakin besar pula kemungkinan kegagalan yang terjadi dan defleksi yang akan terbentuk.



BAB V

KESIMPULAN DAN SARAN

5.1 Kesimpulan

Dari hasil analisa, dapat diambil kesimpulan yaitu :

- 1. Nilai tegangan maksimum (*Maximum Principal stress*) pada ketiga jenis kait
 - A. Dengan menggunakan software elemen hingga:
 - Kait Tunggal = 279,06 Mpa
 - Kait Tanduk Ganda = 137,66 MPa
 - Kait Mata Segitiga = 172,64 Mpa
 - B. Dengan perhitungan manual:
 - Kait Tunggal = 269,28 Mpa
 - Kait Tanduk Ganda = 136,83 MPa
 - Kait Mata Segitiga = 152,00 Mpa

Dari nilai tegangan maksimum (*Maximum Principal stress*) dengan simulasi elemen hingga dan perhitungan manual, disimpulkan struktur *crane hook* (kait) tidak mengalami deformasi plastis dan patah statik, karena:

Tegangan kerja < Kekuatan luluh material (415 MPa)

Tegangan kerja < Kekuatan *ultimate* material (655 MPa) sehingga struktur dalam keadaan aman.

- 2. Nilai safety factor pada ketiga jenis kait
 - A. Dengan menggunakan software elemen hingga:
 - Kait Tunggal = 1,487
 - Kait Tanduk Ganda = 3,014
 - Kait Mata Segitiga = 2,403
 - B. Dengan menggunakan perhitungan manual:
 - Kait Tunggal = 1,541
 - Kait Tanduk Ganda = 3,032
 - Kait Mata Segitiga = 2,730



3. Nilai defleksi yang terjadi pada ketiga jenis crane hook (kait) yaitu :

Kait Tunggal = 1,1964 mm
 Tanduk Ganda = 0,11173 mm
 Kait Mata Segitiga = 0,19418 mm

5.2 Saran

Saran yang dapat diberikan adalah:

- 1. Untuk analisa menggunkan *software* elemn hingga sebaiknya diperhatikan proses *meshing*, dikarenakan semakin kecil bagian *meshing* yang terbentuk maka akan semakin mendekati nilai sebenarnya.
- 2. Pada saat membuat geometri *crane hook* (kait) sebaiknya memperhatikan gambar secara detail agar perhitungan akan menjadi semakin lebih akurat.



DAFTAR PUSTAKA

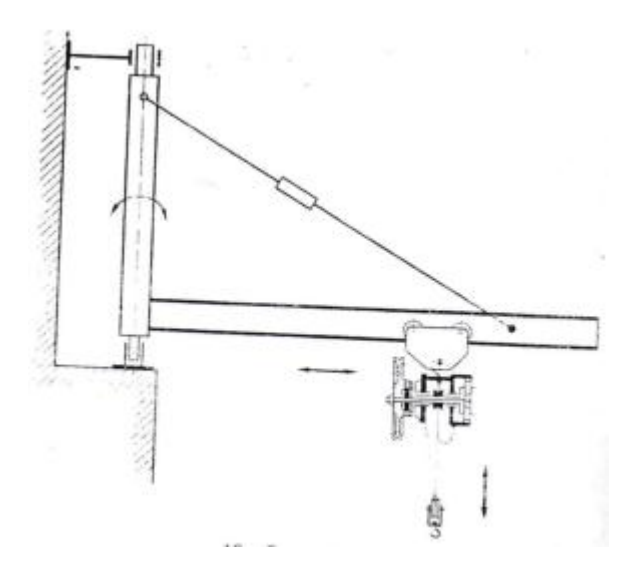
- 1. Rudenko, N. 1964. Mesin Pengangkat. Jakarta: Erlangga
- 2. <u>Sujatmiko, piping. 2012. *Macam macam alat berat.* http://dummyblog89s.blogspot.com. (diakses 10 Mei 2014).</u>
- 3. <u>Hartoyo, ery. 2012. *Jenis jenis peralatan rigging.*</u> http://eryhartoyo.wordpress.com. (diakses 27 Juni 2014).
- 4. Ferdinand, Beer, dkk.1989. *Mekanika Untuk Insinyur STATIKA*. Jakarta: Erlangga.
- 5. Gere, James M, dkk. 1996. Mekanika Bahan. Jakarta: Erlangga
- 6. Basri, hasan. n.d .*Definisi dan Macam Macam Tegangan*. https://www.academia.edu. (diakses 12 Agustus 2014)
- 7. Puja, Wiratmaja. 2008. Elemen Mesin 1. Bandung: ITB
- 8. Mott, Robert L. 2009. *Elemen-Elemen Mesin dalam Perancangan Mekanis*. Yogyakarta : Andi.
- 9. Tawekal, Ricky Lukman. *Dasar-Dasar Metode Elemen Hingga*. Bandung;ITB.
- 10. Uddanwadiker, Rashmi. 2011. Stress Analysis of Crane Hook and Validation by Photo-Elasticity. Scientific Research. 935-941
- 11. Rajurkar, G U, dkk. 2013. *Investigation Of Stresses In Crane Hook By FEM*. International Journal Of Engineering Research & Technology (IJERT). Volume 2:117-122
- 12. Sahu, govind narayan. 2013. *Design and Stress Analysis of Various Cross Section of Hook*. International Journal Of Modern Engineering Research (IJMER). Volume 3: 2187 2189.
- 13. Bergaley, Ajeet and Purohit, A.2013. *Structural Analysis of Crane Hook Using Finite Element Method*. International Journal of Science and Modern Engineering (IJISME). Volume 1: 3-7
- 14. Gunawan. 2010. Analisis Simulasi Elemen Hingga Kekuatan Crane Hook Menggunakan Perangkat Lunak Berbasis Sumber Terbuka. Program Sarjana. Universitas Sumatra Utara. Medan.
- 15. S. Qian, J. Zhou, M.R. de Rooij, E. Schlangen, G. Ye dan K. van Breugel (2009). Self-healing behavior of strain hardening cementitious composites incorporating local waste materials. Cement and Concrete Composites Volume 31, Issue 9, October 2009, Pages 613–621



LAMPIRAN

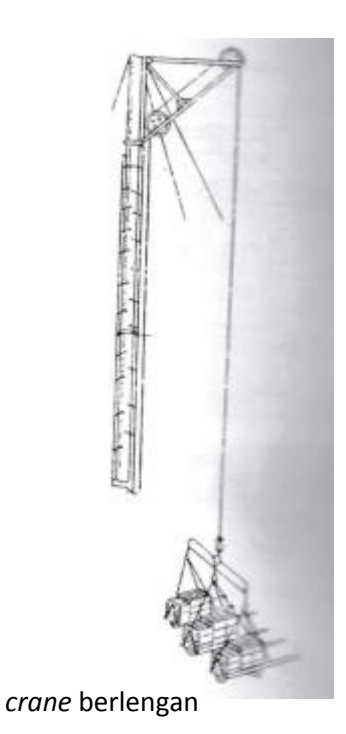


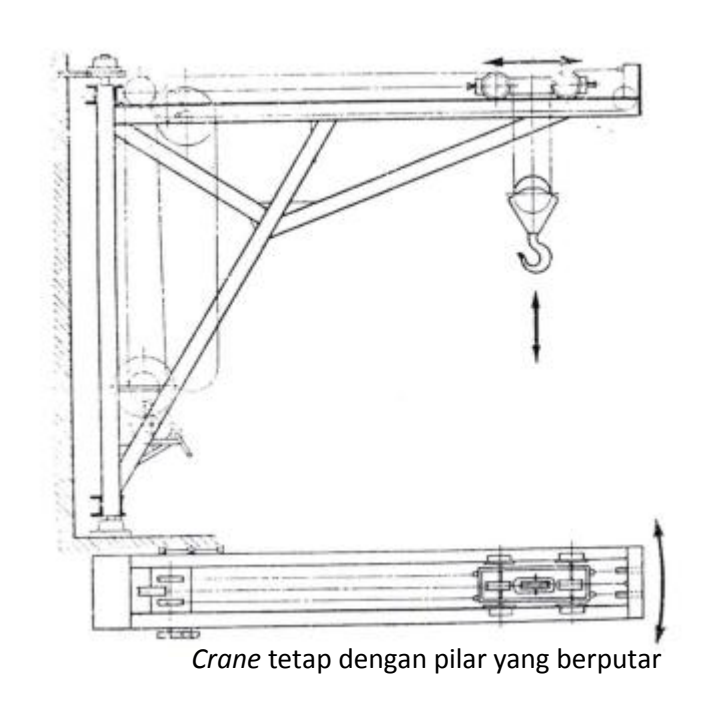
Lampiran 1. Jenis-Jenis $Crane^{l1}$

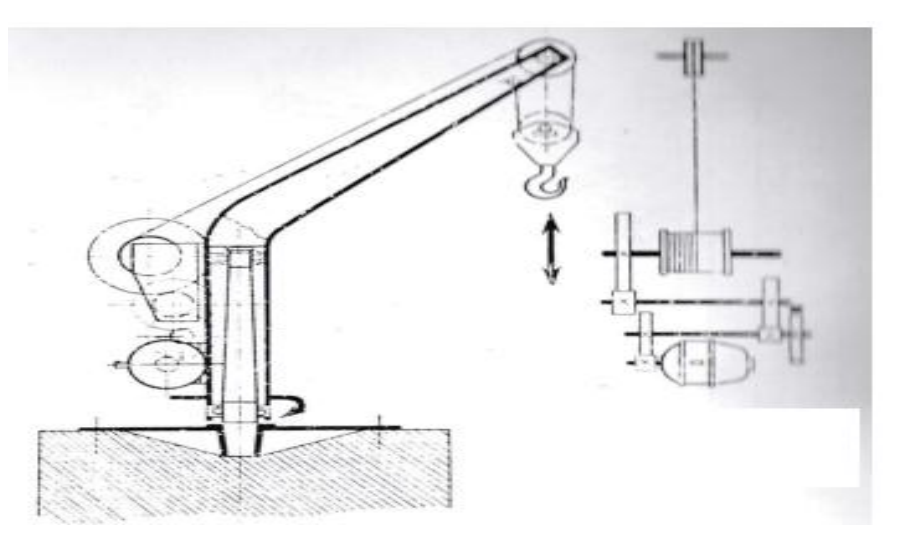


Crane jib dinding

Crane tetap berjari-jari tetap dengan pilar berputar

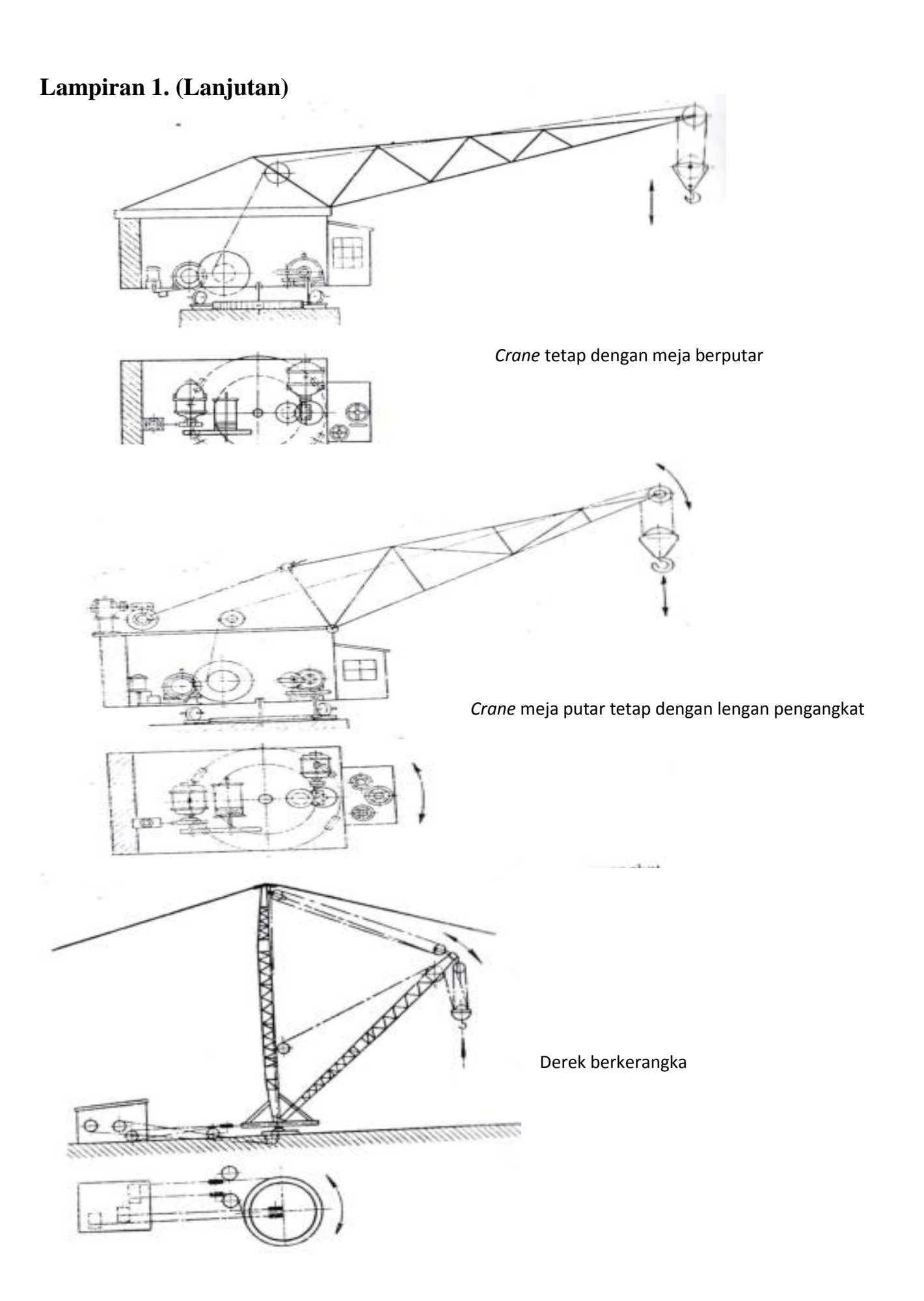




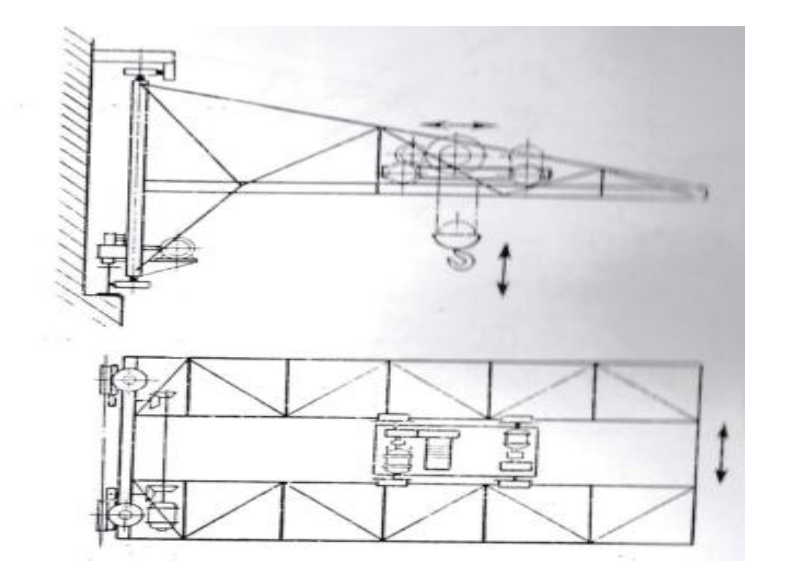


Crane tetap yang berputar dengan pilar tetap

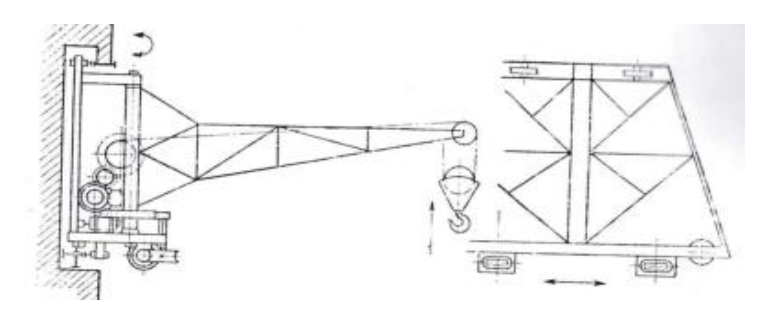




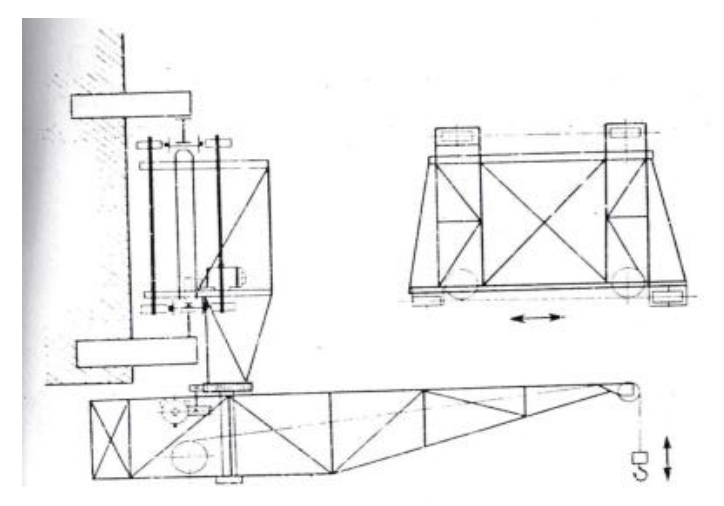




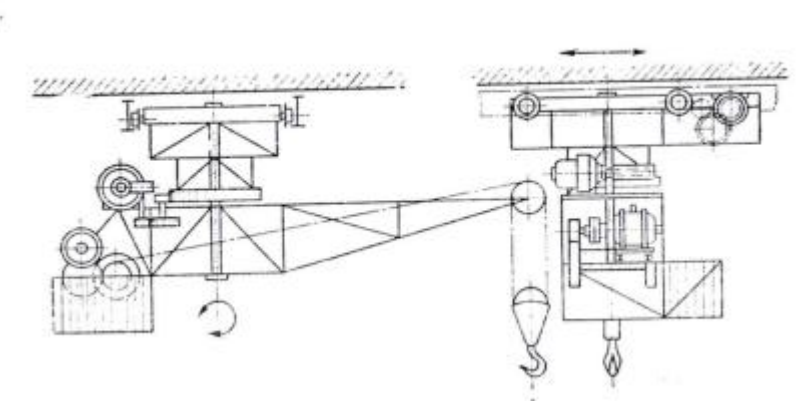
Crane jib kantilever



Crane kantilever dengan lengan putar atas

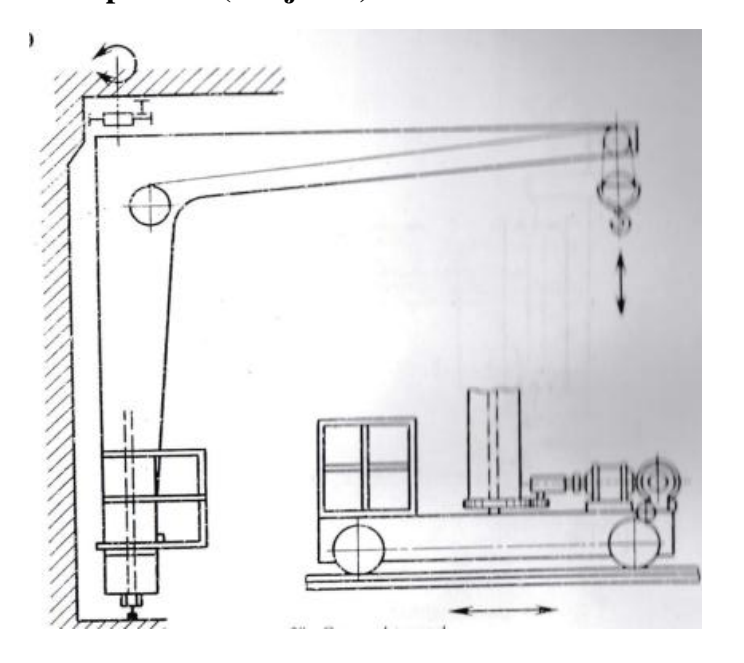


Crane kantilever dengan lengan putar bawah



Crane yang di pasang di langit-langit

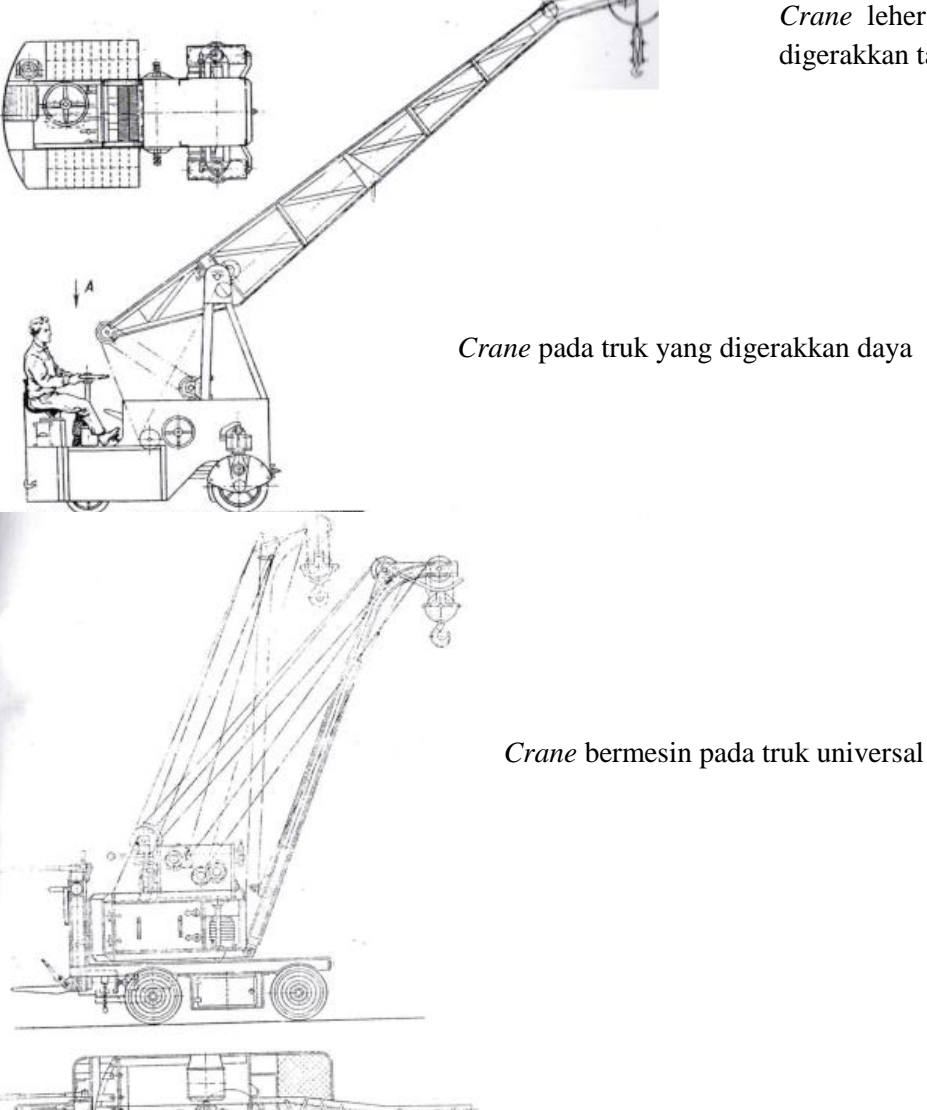




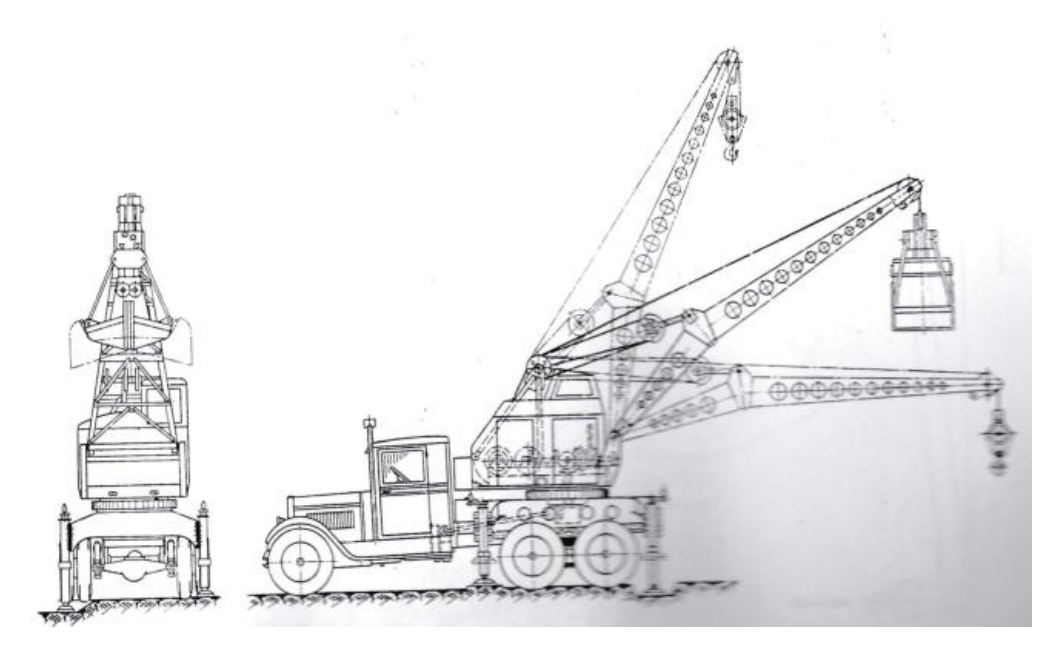
Crane rel tunggal



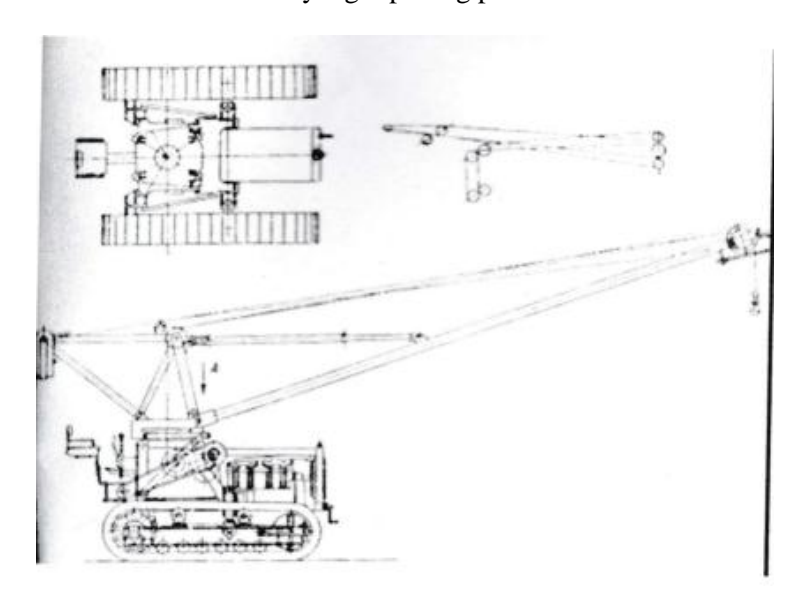
Crane leher angsa pada truk yang digerakkan tangan



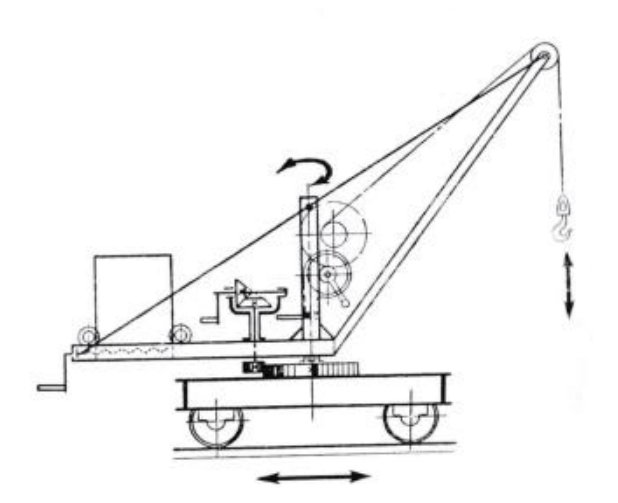




Crane yang dipasang pada truk

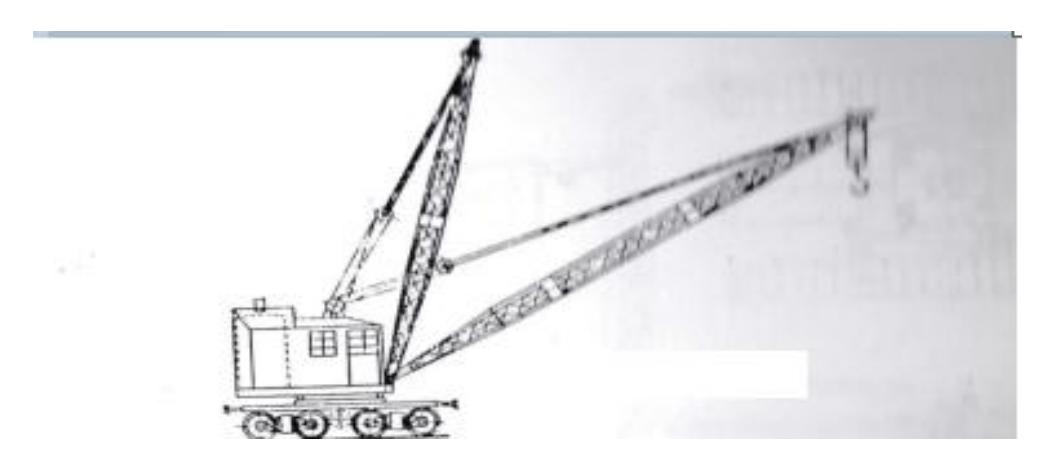


Crane yang dipasang pada traktor

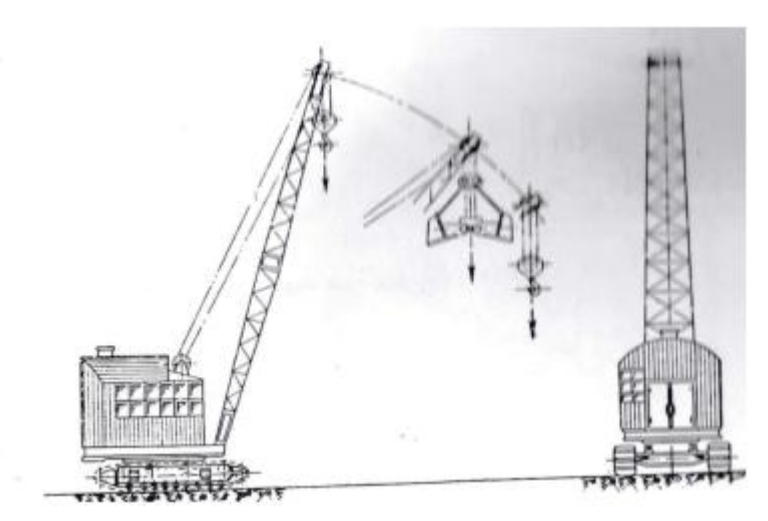


. Crane tangan berrel

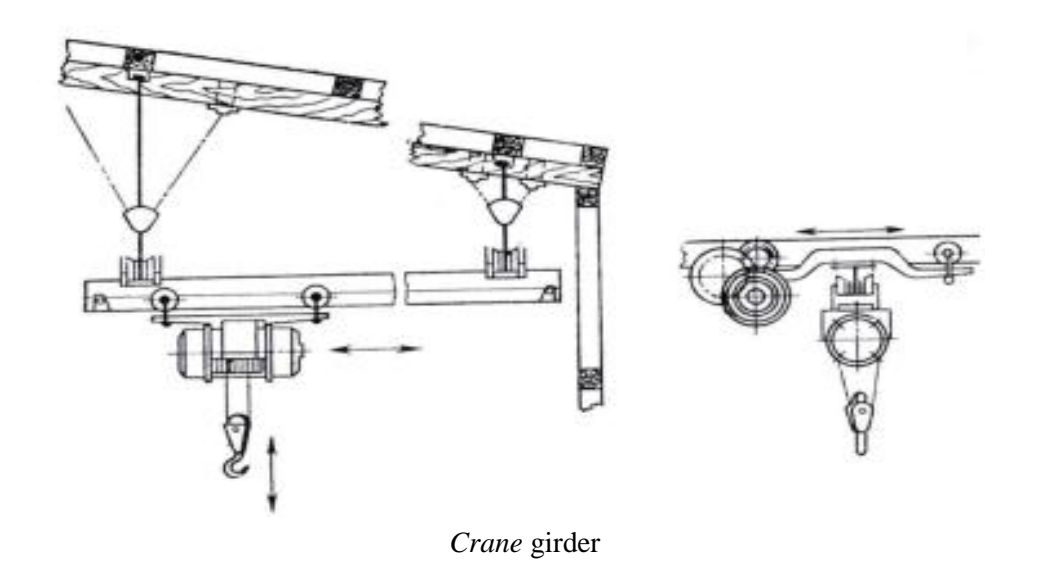




Crane lokomotif uap



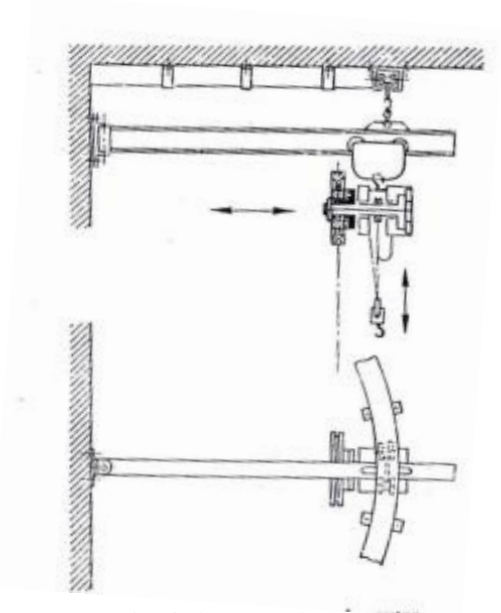
Crane pada traktor lantai



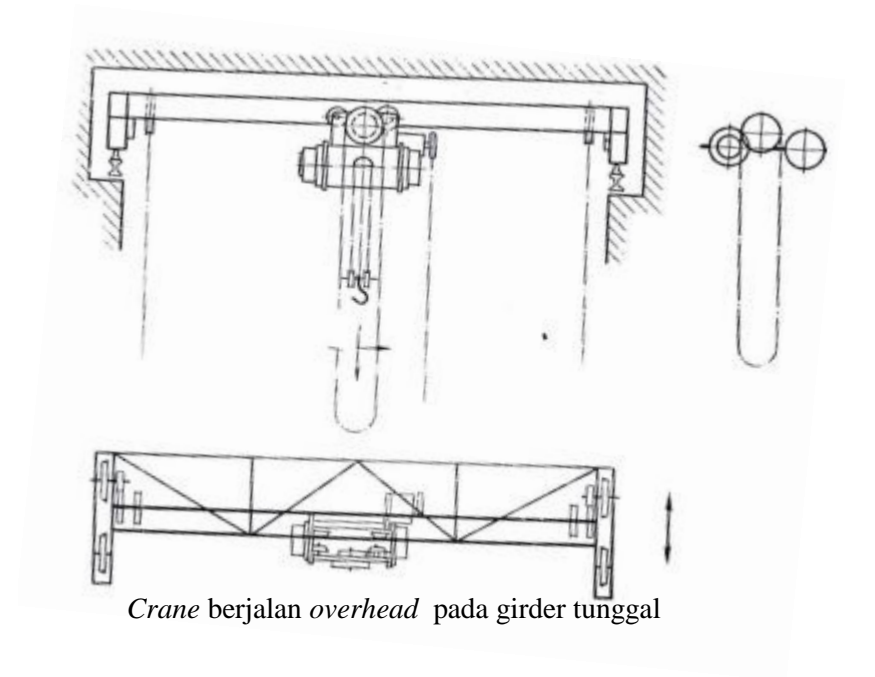
created with

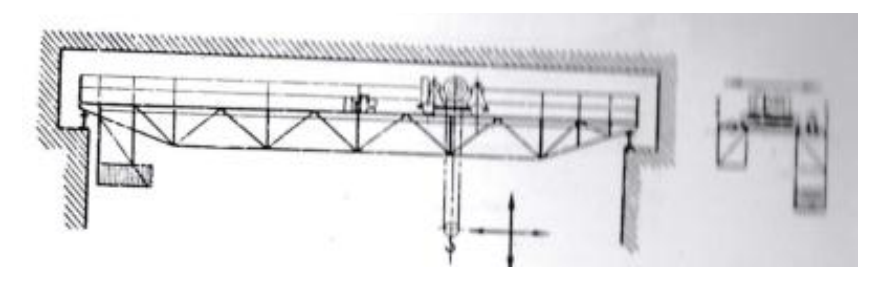
nitro professional

download the free trial online at nitropdf.com/professional

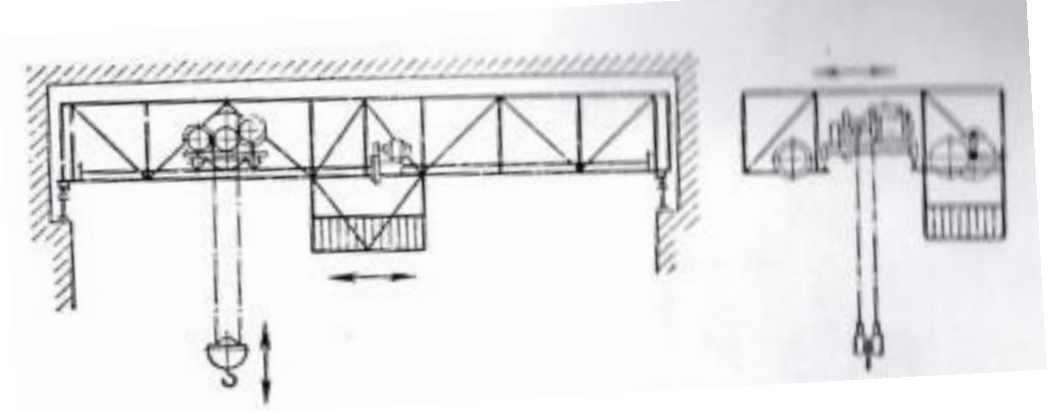


Crane jib girder yang berputar

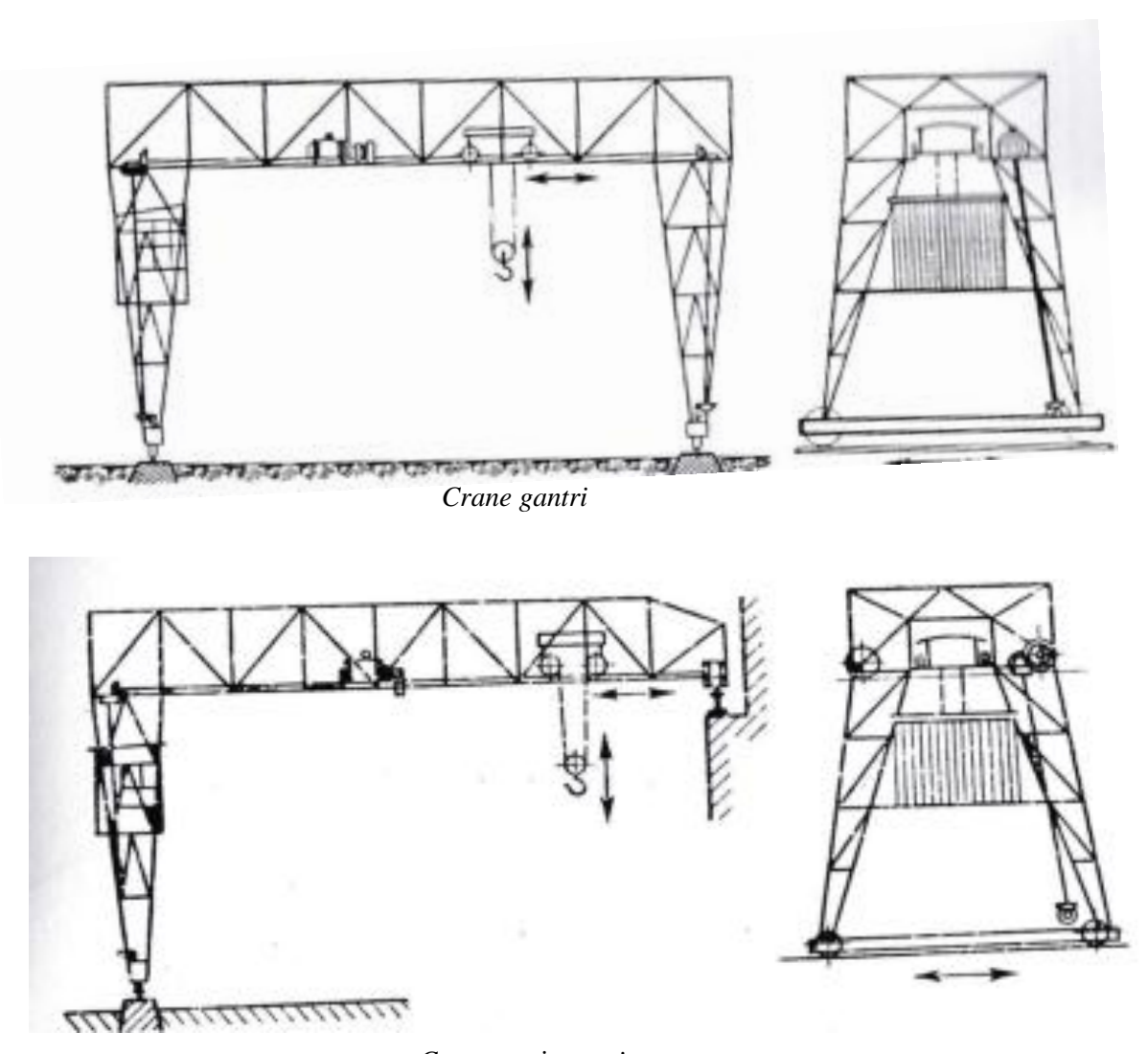




Crane berjalan overhead dengan girder ganda dengan troli yang berjalan diatasnya

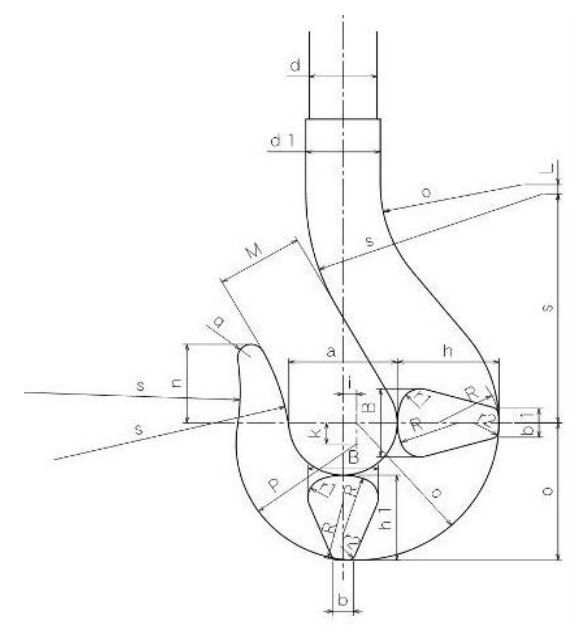


Crane berjalan overhead dengan girder ganda dengan troli yang berjalan di bawah



. Crane semi gantri

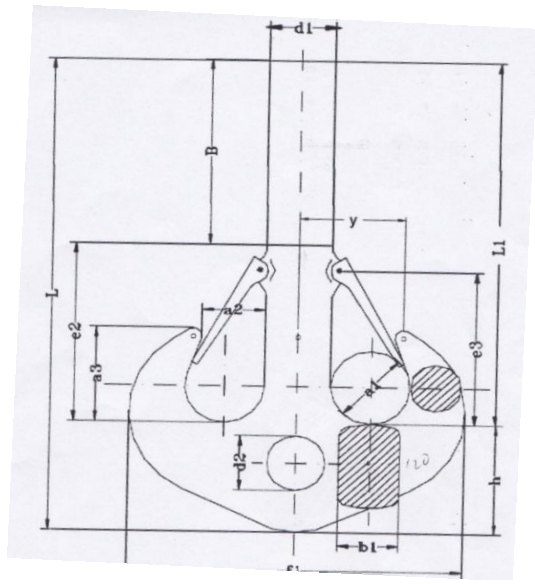
Lampiran 2. Dimensi Kait



Kait tunggal

Ton	a	M	d	d1	h	В	b	R	r1	r2	h1	b1	i	k	L	n	О	р	S	\overline{q}
3	70	56	40	45	60	42	12	36	12	4	52	18	8	13	5	54	87	74	150	8
5	80	64	50	55	75	52	15	45	15	5	65	22	10	16	7	60	105	89	175	10
7.5	95	76	60	65	90	60	17	52	17	6	78	25	13	19	10	70	125	106	205	12
10	105	84	65	70	100	70	20	60	20	7	87	29	13	20	13	80	140	120	230	13
15	120	96	75	80	120	84	24	72	24	8	104	35	16	27	16	90	164	137	260	15
20	135	108	85	90	135	95	27	81	27	9	118	39	18	30	20	103	185	155	290	17
25	150	120	95	105	150	105	30	90	30	10	130	43	20	31	24	114	205	174	325	19
30	160	128	105	120	165	115	34	98	34	11	144	47	21	34	27	122	224	190	350	21
40	180	144	120	130	190	132	38	113	38	13	165	55	25	41	30	137	255	214	400	24
50	200	160	130	140	210	146	42	125	42	14	182	61	28	44	35	152	282	238	450	26
60	215	172	140	150	230	158	45	135	45	15	200	65	30	50	40	165	308	258	480	29
80	245	196	160	170	260	182	52	156	52	17	226	75	35	56	45	190	348	392	550	33
100	270	216	190	200	290	204	58	174	58	19	254	83	36	67	52	213	389	322	600	36

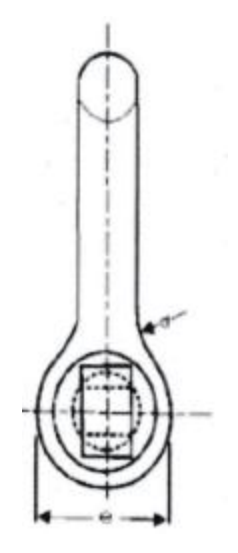


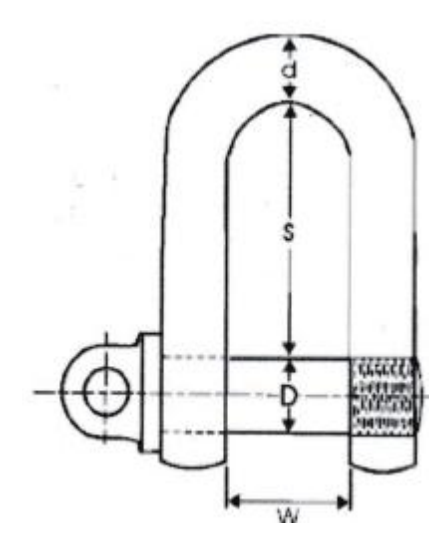


Kait Tanduk Ganda

Ton	a1	a2	a3	В	b1	d1	d2	e2	e3	f1	Н	L	L1	Y	Weight (Kg)
20	90	71	116	220	75	75	74	230	192	377	130	580	450	117.5	41
25	100	80	130	258	85	85	78	252	210	421	150	660	510	132.5	57
32	112	90	146	296	95	95	86	384	237	471	170	750	580	148.5	82
40	125	100	163	332	106	106	96	318	265	531	190	840	650	165.5	115
50	140	112	182	347	118	118	106	378	315	598	212	927	715	185	160
63	160	125	205	388	132	132	116	402	335	672	236	1026	790	207	229
80	180	140	230	435	150	150	131	450	375	754	265	1150	885	233	330
100	200	160	260	461	170	170	146	504	420	842	300	1265	965	265	458
125	224	180	292	538	190	190	168	552	460	944	335	1425	1090	297	638
160	250	200	325	617	212	212	188	618	515	1062	375	1610	1235	331	892
200	280	224	364	685	235	235	208	690	575	1186	425	1800	1375	370	1248
250	315	250	408	776	265	265	235	774	645	1330	475	2025	1550	414.5	1757



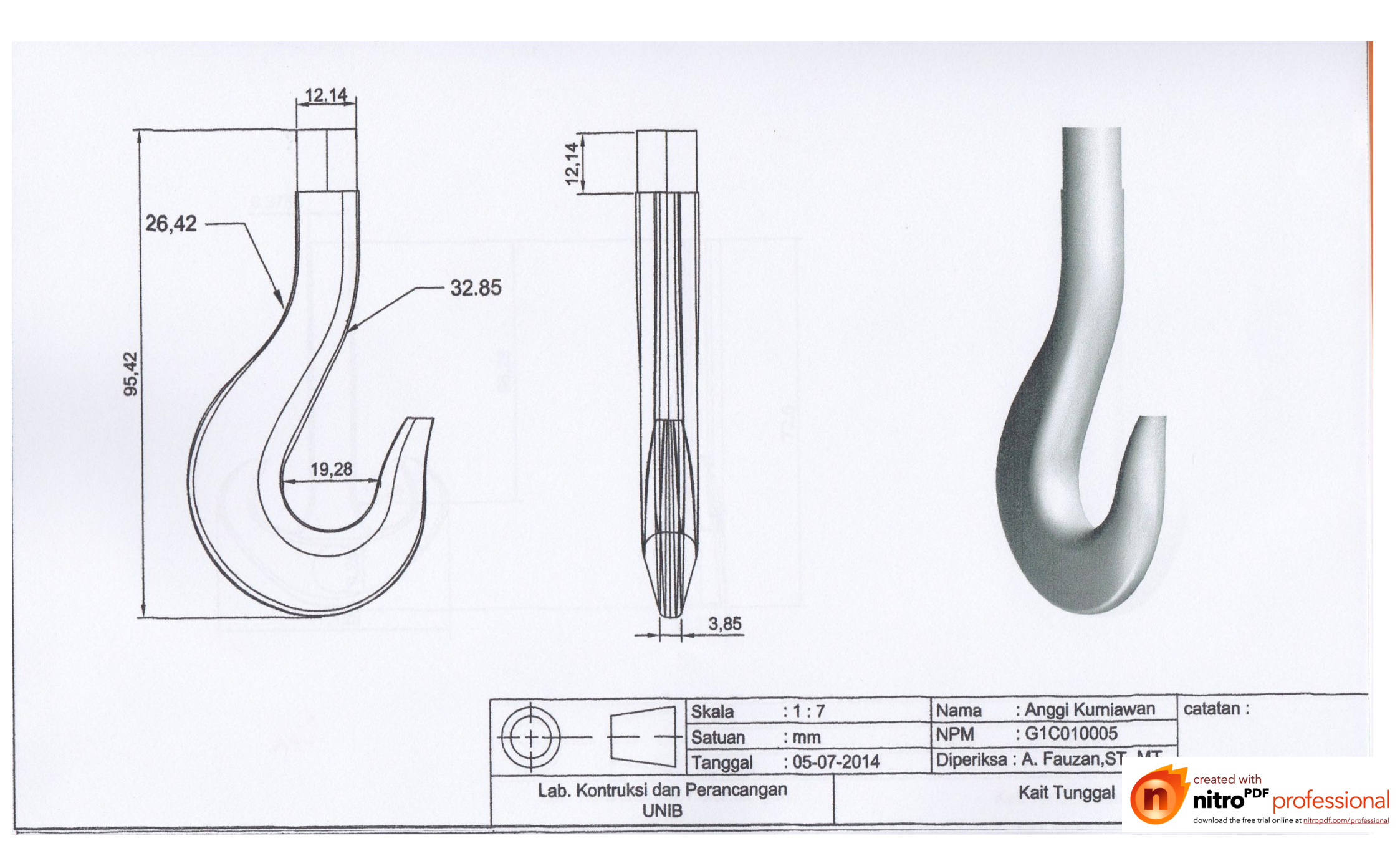


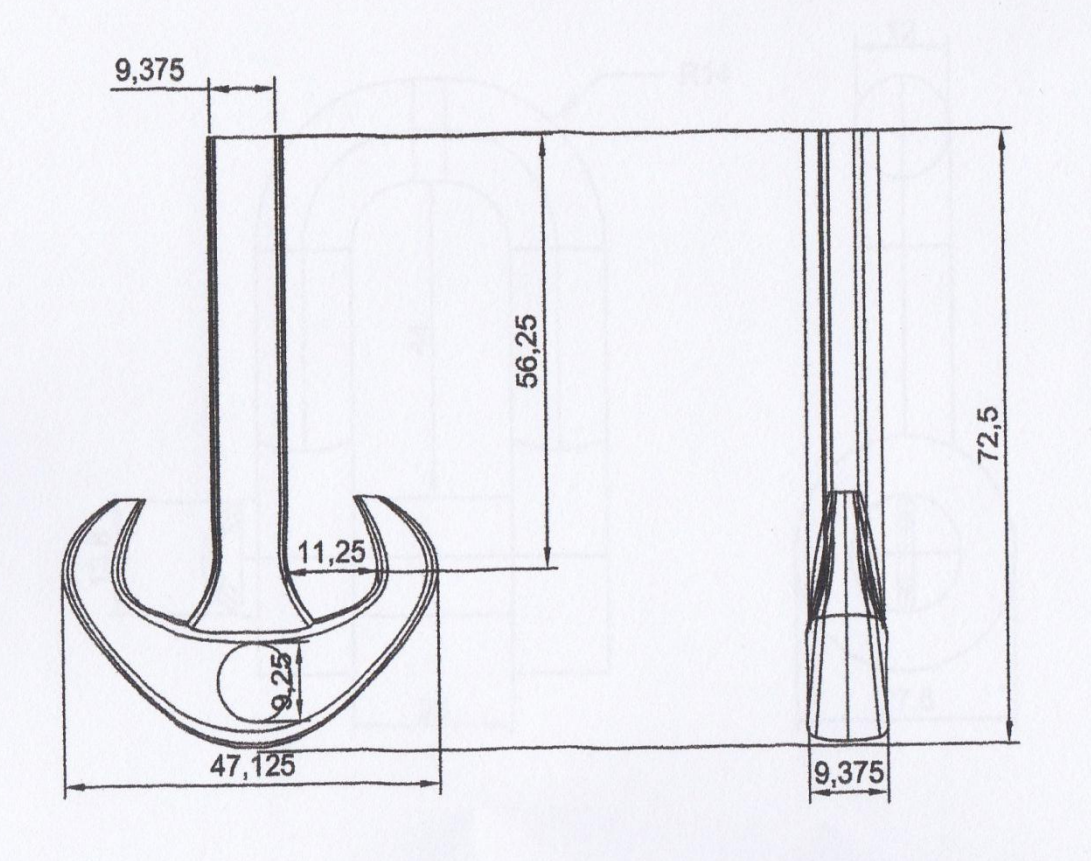


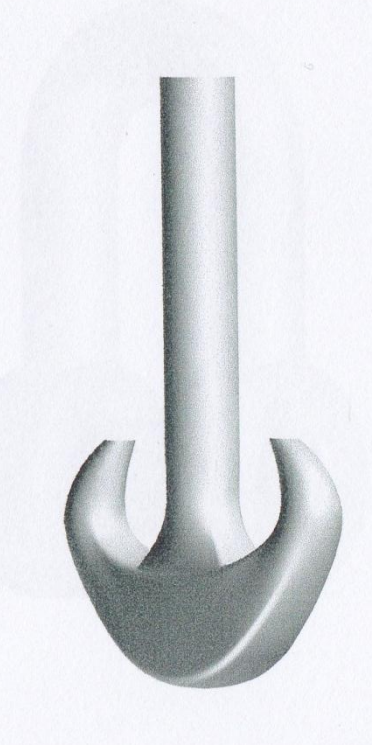
Shackle

Ton	Width	Inside Length	Body Material	Pin Diameter	Eye Outside
1 011	\mathbf{W}	S = 2.2 W	d	D	e
1	22	49	14	16	32
1.25	25	55	16	19	38
1.6	28	62	17	20	40
2	32	70	19	22	44
2.5	34	79	22	26	52
3.2	40	88	24	28	56
4	45	99	27	31	62
5	50	110	30	35	70
6.3	56	124	34	39	78
8	63	139	38	44	88
10	70	154	43	50	100
12.5	80	176	48	55	110
16	90	198	54	62	124
20	100	220	60	69	138
25	107	236	66	76	152
32	117	258	71	82	164
40	130	286	79	91	182
50	140	308	84	97	194
63	153	337	93	110	220

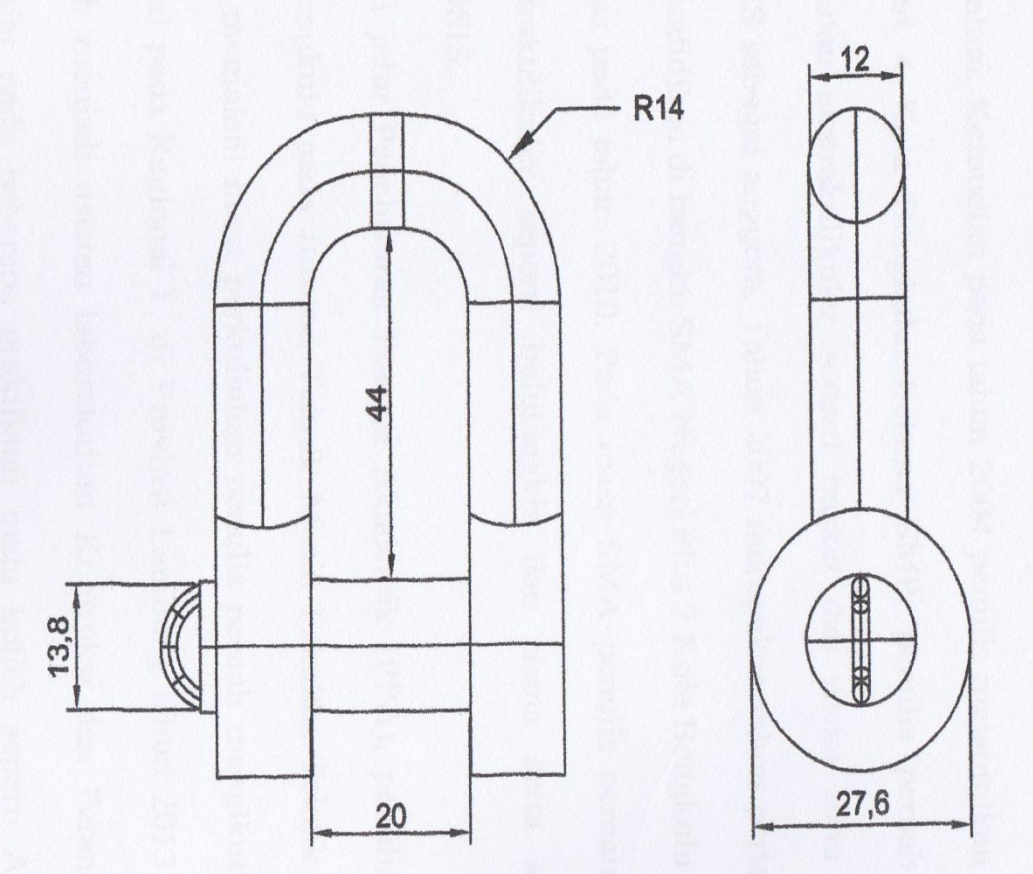
Lampiran 3. Gambar Teknik

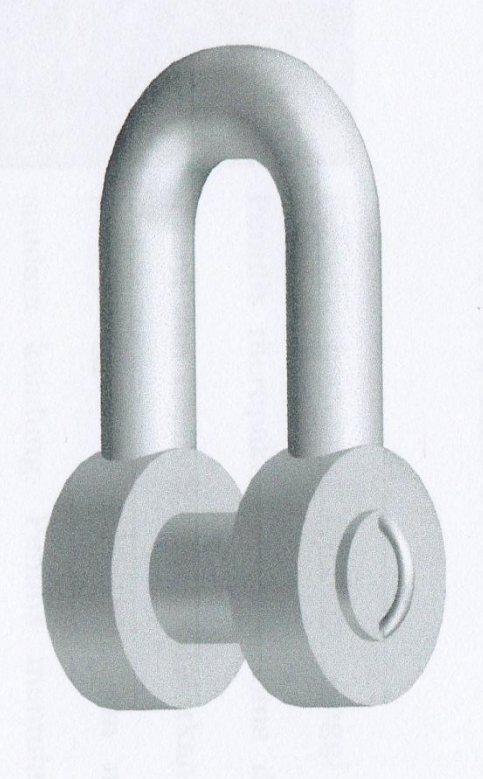






A	Skala :1:8		Nama	: Anggi Kurni	awan	catatan :
1((+))	Satuan : mm		NPM	: G1C010008	5	
	Tanggal: 05-07	7-2014	Diperiks	a : A. Fauzan		created with
Lab. Kontruksi dan UNIB	Perancangan		K	Cait Tanduk G		nitro PDF professional download the free trial online at nitropdf.com/professional





A -	Skala	: 1:5	Nama : Anggi Kurniawan	catatan :
(+)- -	Satuan	: mm	NPM : G1C010005	
9 1	Tanggal	: 05-07-2014	Diperiksa : A. Fauzan CT MT	
Lab. Kontruksi dan UNIB		n	Shackle (n)	created with nitro PDF professiona download the free trial online at nitropdf.com/professions

RIWAYAT HIDUP



Penulis bernama lengkap Anggi Kurniawan.

Penulis merupakan anak pertama dari pasangan

Yasril dan Elpih S. Yang dilahirkan di Bengkulu

pada tanggal 30 Juli 1992 dan mempunyai 2

saudara kandung. Penulis memulai pendidikan

pada tahun 1997 di TK Aisyah II Bengkulu,

Penulis melanjutkan pendidikan di SD Negeri 32 Kota Bengkulu pada tahun 1998 selama enam tahun. Kemudian pada tahun 2004 penulis melanjutkan pendidikan di SMP Negeri 4 Kota Bengkulu. Selama SMP, penulis pernah mengikuti beberapa kegiatan ekstrakulikuler seperti basket dan risma serta aktif pada organisasi OSIS sebagai anggota. Tahun 2007 merupakan tahun pertama penulis mengenyam pendidikan di bangku SMA Negeri Plus 7 Kota Bengkulu selama tiga tahun dan lulus pada tahun 2010. Pada masa SMA penulis pernah aktif pada beberapa ekstrakulikuler seperti bulutangkis dan risma serta aktif dalam keanggotaan OSIS.

Melalui jalur Penelusuran Potensi Akademik (PPA), penulis masuk ke Universitas Bengkulu pada Jurusan Teknik Mesin Fakultas Teknik pada tahun 2010. Selama menjalani masa perkuliahan penulis pernah mengikuti Kompetisi Robot Nasional pada Regional I di Provinsi Lampung tahun 2013. Selain itu, penulis pernah menjadi asisten laboratorium Kontruksi dan Perancangan dan pernah mengajar pada beberapa praktikum mata kuliah seperti Algoritma & Pemograman dan Fenomena Dasar Mesin. Pada tahun 2014, penulis



melaksanakan Kuliah Kerja Nyata (KKN) di Desa Sidosari. Akhirnya penulis dapat menyelesaikan pendidikan Sarjana pada tahun 2014 dengan tugas akhir berjudul "Analisa Kekuatan Struktur *Crane Hook* Dengan Perangkat Lunak Elemen Hingga Untuk Pembebanan 20 Ton".

Email: anggitmunib@gmail.com